

Поправки высших порядков к спектру распада мюона

Научная сессия секции ядерной физики ОФН РАН

У.Е. Возная, А.Б. Арбузов

ЛТФ ОИЯИ, Государственный университет "Дубна"

4 апреля 2024 г.

Мотивация

- Для процессов с мюоном можно поставить эксперименты с высокой точностью и чувствительностью
- Изучение слабого взаимодействия, возможен поиск новых взаимодействий за пределами СМ
- При высокой точности можно изучать свойства нейтрино (дираковская или майорановская природа)
- Для предсказания и описания результатов таких экспериментов необходимы точные теоретические предсказания
- Процессы с τ описываются такими же диаграммами

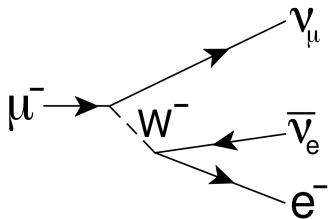
История

- Поправки к распаду мюона порядка $\mathcal{O}(\alpha^1)$ известны с 1950-х годов (*Behrends, Finkelstein, Sirlin (1956), Berman, Sirlin (1962), Kinoshita, Sirlin (1959), Berman (1958)*);
- Поправки $\mathcal{O}(\alpha^2 L^2)$ (*Arbuzov et al., 2002*)
- В работе *A. Arbuzov, K. Melnikov, Phys.Rev.D 66 (2002) 093003* были получены поправки к спектру неполяризованного мюона до порядка $\alpha^2 L$, и в работе *A. Arbuzov, JHEP 03 (2003) 063* и к спектру поляризованного мюона до порядка $\alpha^3 L^3$ в ВЛП и до $\alpha^2 L$ СВЛП;
- Эксперимент TWIST измерял параметры Мишеля с точностью до 10^{-4} , что требовало выхода за $\mathcal{O}(\alpha^1)$ -приближения.

Эксперименты

- TWIST (TRIUMF Weak Interaction Symmetry Test) – проверка симметрии слабого взаимодействия
- Fermilab Muon g-2 – магнитный момент мюона
- MUonE – сечение рассеяния мюона на электроне
- Mu2E – распад μ с излучением электрона e radiation, возможный безнейтринный распад – 2026
- Mu3e – распад μ на 3 электрона (поиск запрещенных СМ распадов) (планируется)
- MEG, MEG II - проверка нарушения лептонной универсальности $\mu^+ \rightarrow e^+ \gamma$

Распад мюона



$$\mu^- \rightarrow e^- + \bar{\nu}_e + \nu_\mu$$

- Распад мюона - чисто слабый процесс, V-A взаимодействие
- Параметры Мишеля определены для него с большой точностью

Возможная новая физика - запрещенные в СМ распады:

$$\mu^- \rightarrow e^- \gamma \quad \mu^- \rightarrow e^- e^- e^+ \quad \mu^- \rightarrow e^- \gamma\gamma$$

$$\mu^- \rightarrow e^-, \mu^- \rightarrow e^+ \text{ в мюонных атомах, } Mu \rightarrow Mu^-$$

и вклады взаимодействий не V-A типа

Энергетический спектр электрона при распаде мюона

$$\frac{d^2\Gamma}{dc dz} = \sum_{j=e,\gamma} \int_z^1 \frac{dx}{x} \frac{d^2\hat{\Gamma}_j}{dc dx}(x, c, \mu_F, \mu_R) D_{ej}\left(\frac{z}{x}, \mu_F, \mu_R\right)$$

$$\frac{d^2\Gamma}{dc dz} = \Gamma_0(F(z) \pm c P_\mu G(z))$$

$$\Gamma_0 = \frac{G_F^2 m_\mu^5}{192\pi^3}, \quad z = \frac{2m_\mu E_e}{m_\mu^2 + m_e^2},$$

$$z_0 \leq z \leq 1, \quad z_0 = \frac{2m_\mu m_e}{m_\mu^2 + m_e^2}$$

Энергетический спектр электрона при распаде мюона

Поправки к излучению из конечного состояния

$$H(z) = \left(h_e^{(0)}(z) + \frac{\alpha}{2\pi} h_e^{(1)}(z) \right) \otimes [D_{ee}]_T + \\ + \left(h_\gamma^{(0)}(z) + \frac{\alpha}{2\pi} h_\gamma^{(1)}(z) \right) \otimes [D_{e\gamma}]_T \equiv h_0(z) + \sum_{i,j} \alpha^i L^j H_{ij}(z)$$

$h \equiv f$, $H \equiv F$ для неполяризованной или $h \equiv g$, $H \equiv G$ для поляризованной части

h_0 - борновское приближение

$$f_0(z) = f_e^{(0)}(z) = z^2(3 - 2z), \quad g_0(z) = g_e^{(0)}(z) = z^2(1 - 2z)$$

$$f_e^{(0)}(z) = z^2(3 - 2z), \quad f_\gamma^{(0)}(z) = 0,$$

$$\begin{aligned} f_e^{(1)}(z) &= 2z^2(2z - 3)(4\zeta(2) - 4\text{Li}_2(z) + 2\ln z^2 - 3\ln z \ln(1 - z) - \ln(1 - z)^2) \\ &+ \left(\frac{5}{3} - 2z - 13z^2 + \frac{34}{3}z^3\right) \ln(1 - z) + \left(\frac{5}{3} + 4z - 2z^2 - 6z^3\right) \ln z \\ &+ \frac{5}{6} - \frac{23}{3}z - \frac{3}{2}z^2 + \frac{7}{3}z^3, \end{aligned}$$

$$\begin{aligned} f_\gamma^{(1)}(z) &= \ln z \left(-\frac{10}{3} + \frac{2}{z} + 4z\right) + \ln(1 - z) \left(-\frac{5}{3} + \frac{1}{z} + 2z - 2z^2 + \frac{2}{3}z^3\right) \\ &+ \frac{1}{3} - \frac{1}{z} + \frac{35}{12}z - 2z^2 - \frac{1}{4}z^3, \end{aligned}$$

$$g_e^{(0)}(z) = z^2(1 - 2z), \quad g_\gamma^{(0)}(z) = 0,$$

$$\begin{aligned} g_e^{(1)}(z) &= 2z^2(1 - 2z) \left(\ln(1 - z)^2 - 4\text{Li}_2(1 - z) - \ln(z) \ln(1 - z) - 2\ln(z)^2\right) \\ &+ \left(\frac{11}{3} - \frac{4}{3z} - 6z - \frac{17}{3}z^2 + \frac{34}{3}z^3\right) \ln(1 - z) + \left(-\frac{1}{3} - 6z^2 - 6z^3\right) \ln(z) \\ &- \frac{7}{6} + 3z + \frac{7}{6}z^2 + 3z^3, \end{aligned}$$

$$g_\gamma^{(1)}(z) = \left(\frac{1}{3} - \frac{1}{3z} - \frac{2}{3}z^2 + \frac{2}{3}z^3\right) \ln(1 - z) + \left(\frac{2}{3} - \frac{2}{3z}\right) \ln z - \frac{2}{3} + \frac{2}{3z} + \frac{11}{12}z - \frac{2}{3}z^2 - \frac{1}{4}z^3$$

Уравнение эволюции партонных распределений в КЭД

Подход структурных функций КЭД (*E.Kuraev and V.Fadin 1985*)

$$D_{ba}(x, \frac{\mu_R^2}{\mu_F^2}) = \delta(1-x)\delta_{ba} + \\ \sum_{i=e, \bar{e}, \gamma} \int \frac{dt \alpha(t)}{2\pi t} \int_x^1 \frac{dy}{y} D_{ia}(y, \frac{\mu_R^2}{t}) P_{bi} \left(\frac{x}{y}, t \right)$$

$$L = \ln \frac{\mu_F^2}{\mu_R^2} = \ln \frac{m_\mu^2}{m_e^2} \approx 10.66$$

Для решения уравнения эволюции использовалась программа на FORM

Для вычисления сверток использовались пакеты HPL и MT Wolfram Mathematica

Функции партонных распределений

$$\begin{aligned}[D_{ee}^{(III)}]_T &= \delta(1-x) + \frac{\alpha}{2\pi} d_{ee}^{(1)}(x) + \frac{\alpha}{2\pi} L P_{ee}^{(0)} + \left(\frac{\alpha}{2\pi}\right)^2 L \left(d_{\gamma e}^{(1)}(x) \otimes P_{e\gamma}^{(0)} + P_{ee}^{(1)} \right. \\ &\quad \left. - \frac{10}{9} P_{ee}^{(0)} + P_{ee}^{(0)} \otimes d_{ee}^{(1)}(x) \right) + \left(\frac{\alpha}{2\pi}\right)^2 L^2 \left(\frac{1}{2} P_{\gamma e}^{(0)} \otimes P_{e\gamma}^{(0)} + \frac{1}{3} P_{ee}^{(0)} + \frac{1}{2} P_{ee}^{(0)} \otimes P_{ee}^{(0)} \right) \\ &\quad + \left(\frac{\alpha}{2\pi}\right)^3 L^2 \left(\frac{1}{2} P_{\gamma e}^{(1)T} \otimes P_{e\gamma}^{(0)} + \frac{1}{2} P_{\bar{e}e}^{(0)} \otimes P_{e\bar{e}}^{(1)T} + \frac{1}{3} d_{\gamma e}^{(1)} \otimes P_{e\gamma}^{(0)} + \frac{1}{2} d_{\gamma e}^{(1)} \otimes P_{\gamma\gamma}^{(0)} \otimes P_{e\gamma}^{(0)} \right. \\ &\quad \left. + \frac{1}{2} P_{\gamma e}^{(0)} \otimes P_{e\gamma}^{(1)T} - \frac{10}{9} P_{\gamma e}^{(0)} \otimes P_{e\gamma}^{(0)} + \frac{2}{3} P_{ee}^{(1)T} + \frac{1}{2} d_{ee}^{(1)} \otimes P_{\gamma e}^{(0)} \otimes P_{e\gamma}^{(0)} - \frac{13}{54} P_{ee}^{(0)} + \right. \\ &\quad \left. \frac{1}{2} P_{ee}^{(0)} \otimes d_{\gamma e}^{(1)} \otimes P_{e\gamma}^{(0)} + P_{ee}^{(0)} \otimes P_{ee}^{(1)T} + \frac{1}{3} P_{ee}^{(0)} \otimes d_{ee}^{(1)} - \frac{10}{9} P_{ee}^{(0)} \otimes P_{ee}^{(0)} \right. \\ &\quad \left. + \frac{1}{2} P_{ee}^{(0)} \otimes P_{ee}^{(0)} \otimes d_{ee}^{(1)} + \left(\frac{\alpha}{2\pi}\right)^3 L^3 \left(\frac{4}{27} P_{ee}^{(0)} + \frac{1}{6} P_{\gamma\bar{e}}^{(0)} \otimes P_{\bar{e}e}^{(0)} \otimes P_{e\gamma}^{(0)} \right) + \frac{2}{9} P_{\gamma e}^{(0)} \otimes P_{e\gamma}^{(0)} \right. \\ &\quad \left. + \frac{1}{3} P_{ee}^{(0)} \otimes P_{\gamma e}^{(0)} \otimes P_{e\gamma}^{(0)} + \frac{1}{3} P_{ee}^{(0)} \otimes P_{ee}^{(0)} + \frac{1}{6} P_{ee}^{(0)} \otimes P_{ee}^{(0)} \otimes P_{ee}^{(0)} \right) \\ [D_{e\gamma}^{II}]_T &= \frac{\alpha}{2\pi} d_{e\gamma}^{(1)} + \frac{\alpha}{2\pi} L(P_{e\gamma}^{(0)}) + \left(\frac{\alpha}{2\pi}\right)^2 L \left(P_{e\gamma}^{(1)T} - \frac{10}{9} P_{e\gamma}^{(0)} + \right. \\ &\quad \left. + P_{ee}^{(0)} \otimes d_{e\gamma}^{(1)} \right) + \left(\frac{\alpha}{2\pi}\right)^2 L^2 \left(\frac{1}{3} P_{e\gamma}^{(0)} + \frac{1}{2} P_{\gamma\gamma}^{(0)} \otimes P_{e\gamma}^{(0)} + \frac{1}{2} P_{ee}^{(0)} \otimes P_{e\gamma}^{(0)} \right)\end{aligned}$$

A.B. Arbuzov, U.V., J.Phys.G 50 (2023) 12, 125004

Результаты

A.B. Arbuzov, U.V., Phys.Rev.D 109 (2024) 5, 053001

$$\begin{aligned} H(z) &= h_e^{(0)}(z) + \frac{\alpha}{2\pi} h_1 + \left(\frac{\alpha}{2\pi}\right)^2 \left\{ \left[h_2^{(0,\gamma)} + h_2^{(0,NS)} \right. \right. \\ &\quad \left. \left. + h_2^{(0,S)} \right] L^2 + \left[h_2^{(1,\gamma)} + h_2^{(1,NS)} + h_2^{(1,S)} + h_2^{(1,int)} \right] L \right\} \\ &\quad + \left(\frac{\alpha}{2\pi}\right)^3 \left\{ \left[h_3^{(0,\gamma)} + h_3^{(0,NS)} + h_3^{(0,S)} \right] L^3 + \left[h_3^{(1,\gamma)} + h_3^{(1,NS)} \right. \right. \\ &\quad \left. \left. + h_3^{(1,S)} + h_3^{(1,int)} \right] L^2 \right\} + \left(\frac{\alpha}{2\pi}\right)^4 \left\{ \left[h_4^{(0,\gamma)} + h_4^{(0,NS)} + h_4^{(0,S)} \right] L^4 \right. \\ &\equiv h_0(z) + \sum_{i,j} \alpha^i L^j H_{ij}(z) \end{aligned}$$

Были рассчитаны поправки порядков $\alpha^3 L^2$, $\alpha^4 L^4$

Уточнены результаты для порядков $\alpha^2 L$, $\alpha^3 L^3$

Рассчитаны отдельно чисто фотонные поправки $+\alpha^4 L^3$, согласие с

P. Banerjee et. al., SciPost Phys. 15, 021 (2023)

Выбор масштаба факторизации

Старый масштаб факторизации:

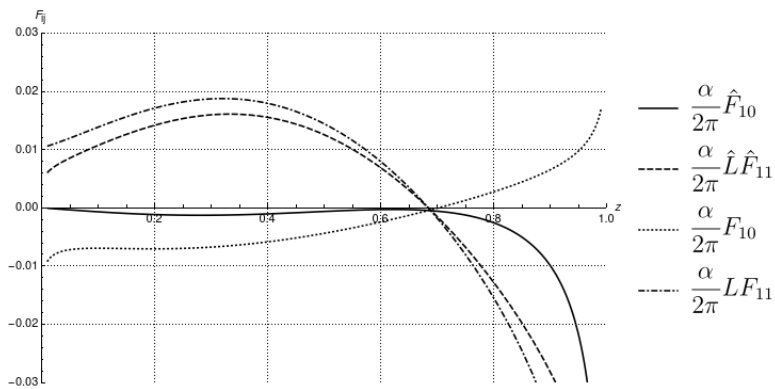
$$\mu_F^2 = m_\mu^2$$

Новый масштаб факторизации:

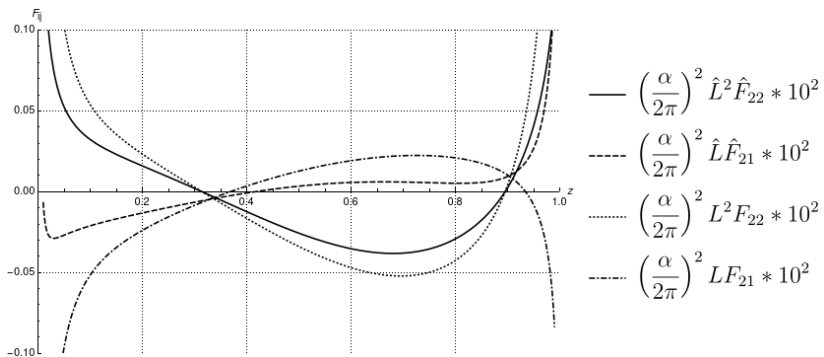
$$\mu_F^2 = m_\mu^2 z(1 - z)$$

Новый "большой логарифм":

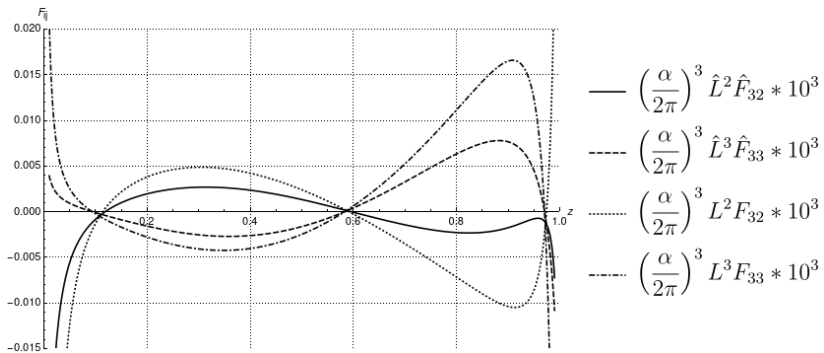
$$\hat{L} = L + \Delta L, \quad \Delta L = \ln z + \ln(1 - z)$$



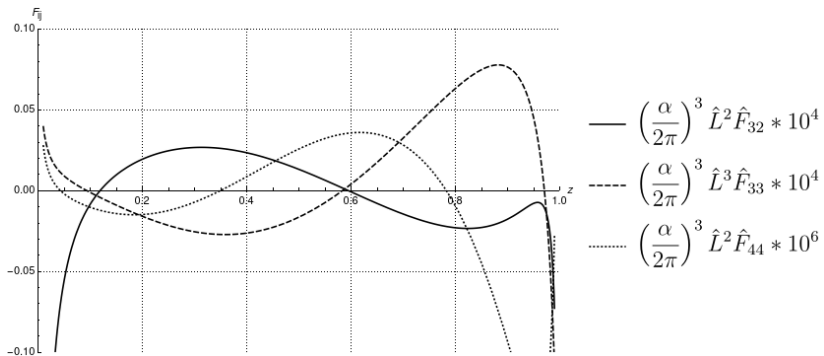
Выбор масштаба факторизации



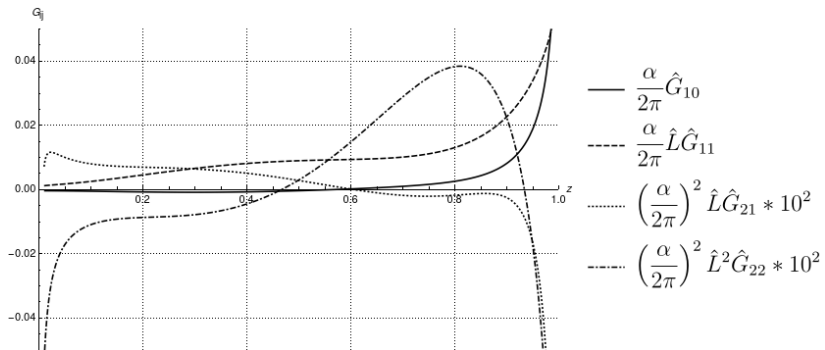
Выбор масштаба факторизации



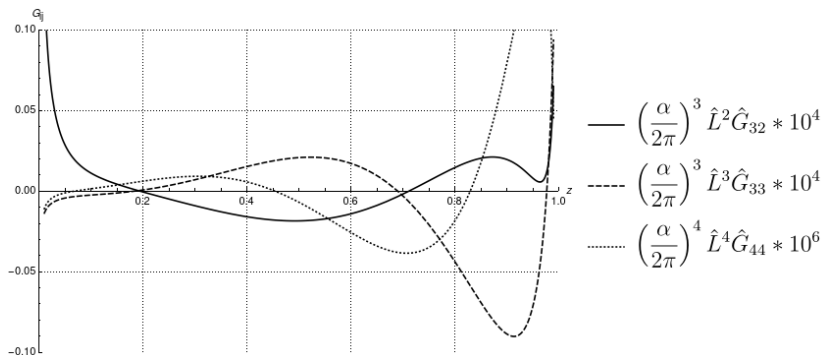
Неполяризованная часть



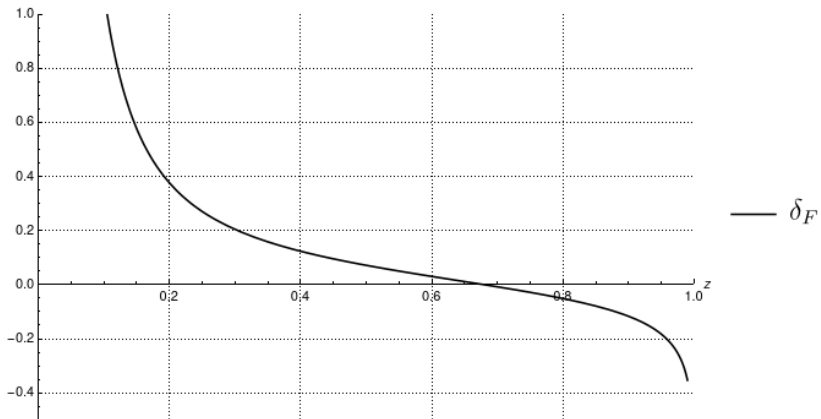
Поляризованный часть



Поляризованный часть

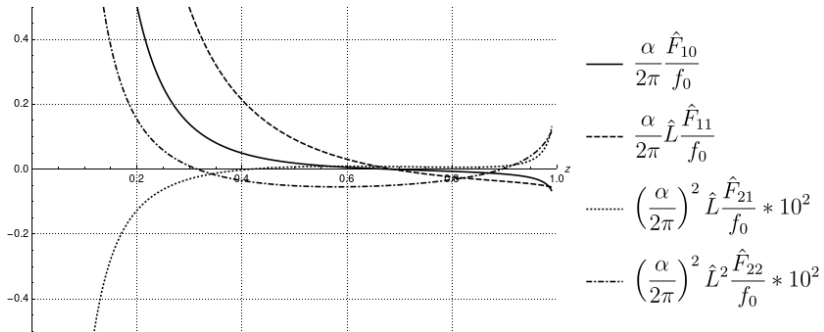


Относительная величина поправки

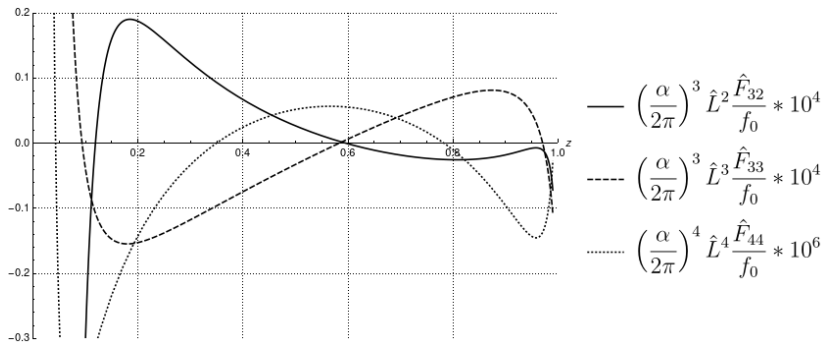


$$\delta_F = \frac{1}{f_0(z)} \sum_{i,j} \left(\frac{\alpha}{2\pi} \right)^i \hat{L}^j \hat{F}_{ij}(z)$$

Относительная величина отдельных вкладов



Относительная величина отдельных вкладов



Заключение

- Вычислены поправки к энергетическому спектру электрона при распаде мюона до порядка $\alpha^3 L^2$
- Найден масштаб факторизации, позволяющий улучшить результаты
- В распадах мюона можно найти новую физику
- Эксперименты по распаду мюона позволяют искать распады, запрещенные СМ
- Эксперименты по распаду мюона позволяют изучать слабое взаимодействие, в частности, наличие примесей других взаимодействий

Спасибо за внимание!

Точность

Учтено: $\alpha^2 L^2, \alpha^2 L, \alpha^3 L^3, \alpha^3 L^2, \alpha^4 L^4$

Не учтено: $\alpha^2 L^0, \alpha^3 L^1$

Наша неопределенность: $3 \cdot 10^{-5}$

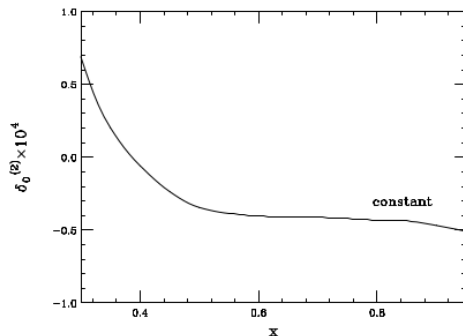
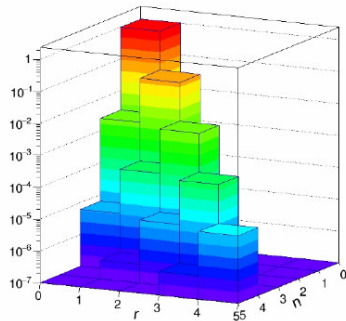


FIG. 6: The ratio of the constant NNLO coefficient relative to the tree result, $\delta_0^{(2)} = (\alpha/\pi)^2 f_0^{(2)}(x)/f^{(0)}(x)$, versus the electron energy fraction x . The y -axis has been scaled by 10^4 .

Anastasiou, Melnikov, Petriello, JHEP 09 (2007), 014

Радиационные поправки в КЭД

QED strength, ISR e^+e^-



QED strength, FSR $\mu^+\mu^-$

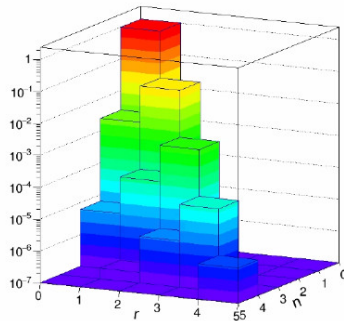


Fig. from Jadach, Skrzypek, arXiv: 1903.09895

Уравнение эволюции партонных распределений в КЭД

Операция свертки

$$(f \otimes g)(x) \equiv \int_0^1 dz \int_0^1 dy f(z)g(y)\delta(x - yz) = \int_x^1 \frac{dz}{z} f(z)g\left(\frac{x}{z}\right)$$

$$f(x) = \lim_{\Delta \rightarrow 0} \left(f_\Theta(x)\Theta(1-x-\Delta) + f_\Delta \delta(1-x) \right)$$

$$\int_z^1 dx [f(x)]_+ g(x) = \int_0^1 dx f(x) \left[g(x)\Theta(x-z) - g(1) \right]$$

$$f_\Delta = - \int_0^{1-\Delta} f_\Theta(z) dz$$

$$(f \otimes g)_\Theta(z) = \lim_{\Delta \rightarrow 0} \left\{ \int_{z/(1-\Delta)}^{1-\Delta} \frac{dx}{x} f_\Theta(x) g_\Theta\left(\frac{z}{x}\right) + f_\Delta g_\Theta(z) + f_\Theta(z) g_\Delta \right\}$$

Уравнение эволюции партонных распределений в КЭД

$$\alpha(q^2) = \frac{\alpha_0}{1 + \bar{\Pi}\left(\frac{-q^2}{\mu^2}, \frac{\bar{m}}{\mu}, \alpha_0\right)}$$
$$\bar{\Pi} = 2\alpha_0 \left(\left(\frac{5}{9} - \frac{L}{3} \right) + 4\alpha_0^2 \left(\frac{55}{48} - \zeta_3 - \frac{L}{4} \right) + 8\alpha_0^3 \left(\frac{-L^2}{24} \right) \right) + \dots$$

P. A. Baikov, K. G. Chetyrkin, J. H. Kuhn and C. Sturm, Nucl. Phys. B **867** (2013), 182-202

$$\alpha_0 = \frac{1}{137}$$